

# 硫氰酸根及其复杂体系的辐照降解研究

冯海兵<sup>1,2</sup>, 胡湖生<sup>1</sup>, 杨明德<sup>1\*</sup>, 胡媛<sup>1,2</sup>, 黄慧萍<sup>2</sup>

(1. 清华大学核能与新能源研究院, 北京 100084; 2. 中国地质大学(武汉)材料科学与化学工程学院, 武汉 430074)

**摘要:** 研究了硫氰酸根及其复杂体系<sup>60</sup>Co源γ射线辐照降解的情况, 分别探讨了在自由基清除剂存在下硫氰酸根的降解, 硫氰酸根辐照后氰的浓度, 氰、硫氰复合体系和氰、铜氰及硫氰酸根的复杂体系的辐照降解情况。结果表明, 在自由基清除剂NaHCO<sub>3</sub>和正丁醇存在的情况下硫氰酸根的降解受到影响, 发现硫氰酸根在辐照的过程中有氰根的产生, 可能的辐解方程为: SCN<sup>-</sup> + 8•OH → SO<sub>4</sub><sup>2-</sup> + CN<sup>-</sup> + 4H<sub>2</sub>O, 在氰、硫氰酸根复合体系中硫氰的降解率只有30%左右, 而游离氰的降解受硫氰影响较小, 在氰、铜氰和硫氰酸根复合体系中, 由于竞争反应, 硫氰酸根难以完全降解, 氰能较快被降解, 而铜氰则由于其强络合能力而在溶液中主要组成是Cu(CN)<sub>3</sub><sup>2-</sup>, 使得总氰的降解只能达80%左右, 不能较完全降解。

**关键词:** γ射线; SCN<sup>-</sup>; 辐照; 降解; CN<sup>-</sup>; 铜氰; 复杂体系

中图分类号:X703.1 文献标识码:A 文章编号:0250-3301(2008)11-3138-05

## Radiolysis of Aqueous Thiocyanate and Its Complicated System

FENG Hai-bing<sup>1,2</sup>, HU Hu-sheng<sup>1</sup>, YANG Ming-de<sup>1</sup>, HU Yuan<sup>1,2</sup>, HUANG Hui-ping<sup>2</sup>

(1. Institute of Nuclear and New Energy Technology, Tsinghua University, Beijing 100084, China; 2. Department of Material Science and Chemical Engineering, China University of Geosciences, Wuhan 430074, China)

**Abstract:** We studied the <sup>60</sup>Co γ-ray radiolysis of thiocyanate aqueous solutions in the presence of free radical scavengers, determination of cyanide of radiated thiocyanate solutions, degradation of cyanide and thiocyanate complicated system and cyanide-thiocyanate and copper(I) cyanide complicated system. The presence of NaHCO<sub>3</sub> and n-butanol made the degradation efficiency of thiocyanate decreased, in the radiation procession of thiocyanate, cyanide was produced; and the possible reaction equation is SCN<sup>-</sup> + 8•OH → SO<sub>4</sub><sup>2-</sup> + CN<sup>-</sup> + 4H<sub>2</sub>O, in the cyanide and thiocyanate system, the thiocyanate degradation rate can obtained 30%, free cyanide degradation was little effected by coexistence of thiocyanate; and due to strong complex ability of copper(I), the main form of copper(I) cyanide is Cu(CN)<sub>3</sub><sup>2-</sup>, the total cyanide of the system can't be degraded completely and degradation rate is about 80%.

**Key words:** γ-ray; SCN<sup>-</sup>; radiolysis; degradation; CN<sup>-</sup>; copper(I) cyanide; complicated system

硫氰酸根是一种直线型、带负电的多原子离子, 是一种典型的类卤素, 拥有较好的络合性。由于其一系列特殊的性质, 广泛存在和应用于各种工农业生产中, 如农业化学、湿法冶金(氰化浸金、银)、炼焦和煤气制备等都是硫氰酸根使用和生产的重要领域<sup>[1]</sup>。由于工业上大量的应用和生产, 硫氰酸根广泛存在于环境之中, 硫氰酸根在废水中易被氯化生成挥发性的剧毒物质氯化氰, 也能被环境中的紫外线作用而生成氰化物; 硫氰酸根本身也是有毒物质<sup>[2]</sup>。由于硫氰根不挥发、不会被水解, 也不容易形成沉淀被除去, 化学氧化法存在化学氧化剂消耗大、易引起二次污染等缺点<sup>[3]</sup>, 而生物氧化法则存在水力停留时间长、难以寻找适合的微生物等缺陷<sup>[4]</sup>, 所以开发新的方法显得十分重要。

利用射线辐照法处理环境污染物是一种新型的环境技术, 辐照法处理水中环境污染物的原理是: 射线作用于水, 产生一系列自由基: e<sub>aq</sub><sup>-</sup>、•OH、H, 这些自由基作用于污染物质, 或氧化, 或还原, 使污染

降解, 整个过程无或很少有化学物质加入, 且不会产生二次污染。辐照法具有处理速度快、效率高、处理彻底等优点, 具有重要的理论意义和应用前景。

本课题组前期工作已经研究了硫氰酸根的辐照降解<sup>[5]</sup>, 对单一的硫氰根, 辐照法有较好的处理效果, 但是真实的废水很少由单一组分组成, 以前的研究<sup>[7,8]</sup>都是单一污染物的辐照降解, 而本实验首次研究了模拟多组分存在下多组分的降解情况, 并且研究了NaHCO<sub>3</sub>和正丁醇等自由清除剂加入后硫氰酸根的降解、硫氰酸根辐照后氰的测定, 硫氰酸根, 游离氰和铜氰组合而成的复杂体系的辐照降解情况。

## 1 材料与方法

### 1.1 试剂

收稿日期: 2007-12-25; 修订日期: 2008-04-12

基金项目: 国家自然科学基金项目(10475046)

作者简介: 冯海兵(1983~), 男, 硕士研究生, 主要研究方向为辐射技术处理环境污染物, E-mail: haida8080@163.com

\* 通讯联系人, E-mail: yangmd@mail.tsinghua.edu.cn

NaSCN(AR)购自北京化学试剂公司,NaOH、CuCl、NaCN、NaHCO<sub>3</sub>和正丁醇均为分析纯试剂,实验用水为去离子水。

## 1.2 实验装置

辐射源:<sup>60</sup>Co源γ辐射装置(清华大学核能研究院601室),中心孔道剂量率:0.248 kGy/min。

## 1.3 实验方法

取一定NaSCN于小烧杯中,置于烘箱,在105~110℃下干燥3 h,称量NaSCN 1.395 8 g溶于烧杯中,转移至1 000 mL容量瓶后定容,用去离子水稀释至目标浓度。用移液管移取20 mL溶液于不同的具塞试管中,滴加NaOH(AR)溶液调节样品pH值至设定值(以pH试纸测试溶液的pH值,不调节pH值者则不滴加),氰用0.1% NaOH溶液配制,铜氰由氯化亚铜和过量氰化钠溶液混合溶解后而配制,然后放入钴源中心孔道中进行辐照,辐照后不经预处理,直接进行分析。

## 1.4 分析方法

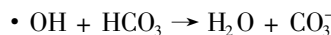
硫氰酸根:低浓度时使用异烟酸-毗唑啉酮分光度法(GB/T 13897-92),高浓度时使用FeCl<sub>3</sub>分光光度法。

氰根:总氰测定使用(GB 7486-87),氰化物测定使用(GB 7486-87)。

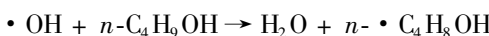
## 2 结果与分析

### 2.1 自由基清除剂的影响

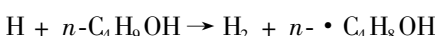
真实氰化浸金废水(碱性)中,碳酸氢根是较为常见的离子,考察在碳酸氢根存在下硫氰酸根的辐照降解情况有重要意义,另外,正丁醇是一种典型的·OH和e<sub>aq</sub><sup>-</sup>清除剂<sup>[6]</sup>,SCN<sup>-</sup>浓度为50 mg/L的溶液在不同浓度碳酸氢根和正丁醇下的辐照降解情况见图1<sup>[8]</sup>。



$$k = 8.5 \times 10^6 \text{ dm}^3 \cdot (\text{mol} \cdot \text{s})^{-1}$$



$$k = 5.5 \times 10^8 \text{ dm}^3 \cdot (\text{mol} \cdot \text{s})^{-1}$$



$$k = 10^7 \text{ dm}^3 \cdot (\text{mol} \cdot \text{s})^{-1}$$

在18 kGy剂量下,NaHCO<sub>3</sub>浓度为0、50、100和200 mg/L的情况下,硫氰酸根的降解率为78.52%、69.29%、65.83%和57.67%,同样条件下正丁醇的加入,硫氰根的降解率为78.52%、63.79%、54.48%和47.52%,可见正丁醇对硫氰酸根降解的影响更

大。硫氰酸根的降解主要依靠·OH的氧化作用,而自由基清除剂碳酸氢根和正丁醇消耗了水辐解产生的·OH而使得硫氰根降解效率下降,因此在实际的废水辐照降解过程中应注意去除碳酸盐显得十分重要。

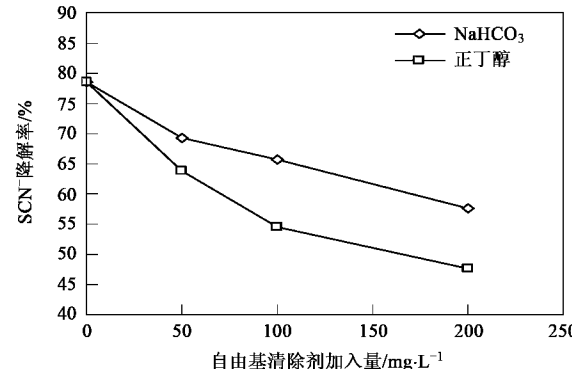


图1 不同浓度NaHCO<sub>3</sub>、正丁醇对硫氰酸根降解的影响

Fig. 1 Effect of concentrations of NaHCO<sub>3</sub> and n-butanol on SCN<sup>-</sup> solution degradation

### 2.2 辐照后氰的产生

硫氰酸根的辐照降解过程十分复杂,一般认为,在硫氰酸根的辐照降解过程中,有SCN<sup>·</sup>和(SCN)<sub>2</sub><sup>·</sup>等中间粒子的产生,浓度为50 mg/L(pH=7,pH=12)和100 mg/L(pH=7,pH=12)经过射线辐照后,小部分样品(剂量较大的样品)有浑浊现象(凝胶)产生,应该是硫氰酸根在辐照的过程中有硫的产生。对辐照之后的样品进行氰根浓度的测定,结果表明:pH值对氰根的产生有较大的影响(图2),在pH值为7时,氰的浓度呈现山峰状,先增长后下降(100 mg/L,呈波浪型),50 mg/L和100 mg/L硫氰酸根经辐照后氰的最大浓度分别为9.35(9 kGy)和12.64 mg/L(60 kGy),占被降解硫氰酸根的74.05%和34.61%,而在pH=12(真实氰化浸金废水pH值),50 mg/L和100 mg/L硫氰酸根经辐照后氰的最大浓度为4.74 mg/L和5.98 mg/L,占被降解硫氰酸根的57.97%和33.40%,总体的趋势是辐照剂量增大,氰的浓度减小。在不同pH值下,氰的产生量差异明显,而硫氰酸根浓度对氰的产生量影响不大,这可以解释为:硫氰根转化为氰主要是辐射过程中产生的氧化性·OH作用的结果,在碱性条件下<sup>[9,10]</sup>,·OH产额[G(·OH)],每100 eV能量下产生的分子、离子和自由基数量]下降,并且与OH<sup>-</sup>发生反应生成O<sup>2-</sup>离子,其氧化能力大大降低,产生的氰也在硫氰酸根被分解的过程中分解。前期研究工作表明<sup>[5]</sup>:硫氰酸根

在辐照过程也产生  $\text{SO}_4^{2-}$ , 而  $\text{NO}_3^-$  产量非常小, 因此硫氰酸根在辐照中产生氰的过程可以用以下方程来表示:

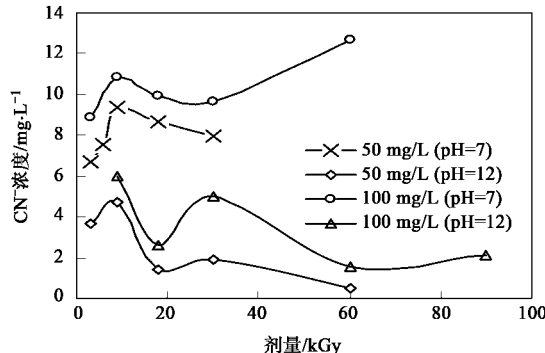


图 2 硫氰酸根溶液辐照后氰的浓度与剂量的关系

Fig. 2 Radiation dose and cyanide concentrations of radiated thiocyanate solutions

### 2.3 硫氰酸根、氰复杂体系

对不同浓度的氰、硫氰酸根混合的情况做了研究, 如图 3、4 所示, 在氰、硫氰酸根混合体系 ( $\text{pH} = 12$ ) 中, 氰能较为完全地降解, 而硫氰酸根则只能降解一部分, 从动力学的角度来解释, 化合物的辐照降解可以用下式来表示<sup>[11]</sup>:

$$R_D = R_0 e^{-kD} \quad (1)$$

式中,  $R_D$  为剩余浓度 mg/L,  $R_0$  为初始浓度 mg/L,  $D$  为剂量 kGy,  $k$  为剂量常数, 1/kGy.

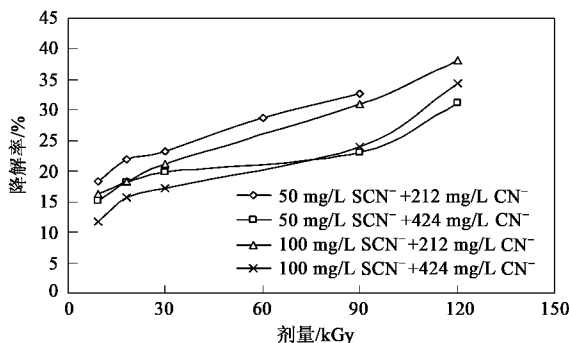


图 3 氰、硫氰酸根复杂体系中硫氰酸根降解率与剂量的关系

Fig. 3 Effects of radiation dose on thiocyanate degradation rate in cyanide-thiocyanate complicated system

根据式(1)可以算出 90%  $\text{SCN}^-$  被降解所需要的剂量  $D_{0.9}$  ( $R_D = 0.1 R_0$ ):

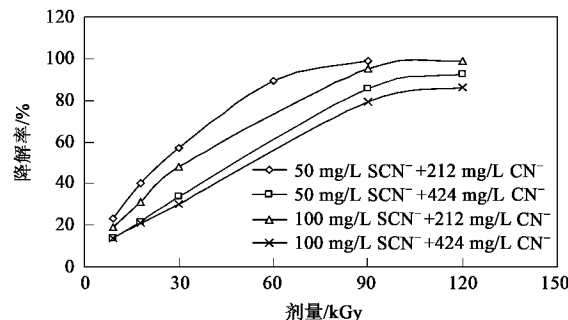


图 4 氰、硫氰酸根复杂体系中氰根浓度降解率与剂量的关系

Fig. 4  $\text{CN}^-$  degradation rate in cyanide and thiocyanate complicated system and radiation dose

$$D_{0.9} = \ln 0.1 / (-k) \quad (2)$$

对氰、硫氰酸根混合体系中的氰按照式(2)进行拟合, 为一级反应, 得到表 1.

表 1 氰、硫氰酸根混合体系中氰的降解动力学及  $D_{0.9}$

Table 1 Cyanide degradation kinetics in cyanide and thiocyanate complicated system and  $D_{0.9}$

体系	动力学方程 <sup>[1]</sup>	相关系数 ( $R^2$ )	$D_{0.9}$ / kGy
50 mg/L SCN⁻ + 212 mg/L CN⁻	$y = 212e^{-0.03085x}$	0.9842	74.6
50 mg/L SCN⁻ + 424 mg/L CN⁻	$y = 424e^{-0.01745x}$	0.9950	131.9
100 mg/L SCN⁻ + 212 mg/L CN⁻	$y = 212e^{-0.02207x}$	0.9902	104.3
100 mg/L SCN⁻ + 424 mg/L CN⁻	$y = 424e^{-0.01522x}$	0.9931	151.2

1)  $y$  代表剩余浓度,  $x$  代表辐照剂量, 下同

由表 1 可知, 硫氰酸根的存在使得氰的动力学常数减小, 硫氰酸根与氰根存在竞争反应<sup>[1,2]</sup>, 使氰的降解效率降低, 但降低的程度较小, 显示氰、硫氰酸根共存的情况下, 氰的降解受硫氰酸根影响较小, 但硫氰酸根浓度的增加则使得这种影响增大, 硫氰酸根的降解却被氰所抑制.

### 2.4 氰、铜氰和硫氰混合体系

实际氰化浸金废水中的主要成分为游离氰、络合氰和硫氰酸根等, 对不同浓度下的氰、硫氰酸根和铜氰组成的体系(铜氰以铜计, 100 mg/L 铜氰中总氰浓度为 430 mg/L, 游离氰 340 mg/L, pH = 12, 此数值为实际废水中氰的浓度、pH 值)进行辐照实验, 分析辐照后溶液中的硫氰酸根, 游离氰和总氰的浓度, 如图 5 所示.

硫氰酸根在混合体系的辐照过程中的降解受到抑制, 各体系在其最大剂量下的硫氰酸根降解率分别为 29.25%、27.53%、30.42% 和 26.25% (如图 5), 这种情况可解释为: 一方面, 在氰、铜氰与硫氰根体

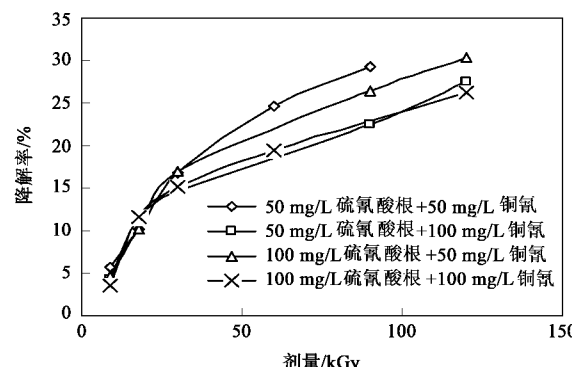


图 5 氰、硫氰酸根和铜氰复杂体系中硫氰酸根降解率与剂量的关系

Fig.5 Thiocyanate degradation rate in cyanide, thiocyanate and copper (I) cyanide complicated system and radiation dose

系在辐照的过程中发生了竞争反应,氰比硫氰酸根容易降解,在氰和铜氰存在的情况下,硫氰酸根的降解受到抑制,氰浓度高的体系硫氰根降解受到的影响越大;另一方面,体系的 pH 值为碱性,碱性的条件不利于硫氰酸根的降解。

从图 6 可以看出,混合体系中,游离氰的降解较为完全,在剂量足够的情况下,游离氰的降解率能够达到 90% 以上,说明在氰在混合体系中最容易降解,游离氰受到体系中其它物质的影响很小,表 2 中  $D_{0.9}$  的值可以看出,氰的降解主要与氰和铜氰的浓度有关,硫氰酸根的影响较小。

总氰的降解先是较为快速(图 7),与剂量成线性关系,但到了一定程度以后,曲线呈现平缓弯曲的趋势,说明总氰的降解开始受到抑制,即使在剂量很大的情况下也是如此,这与铜氰络合物的强稳定性<sup>[13]</sup>有关,铜氰的累积稳定常数<sup>[14]</sup>为  $\lg \beta_{2,3,4} = 24.0, 28.59, 30.3$ ,在  $pH = 12$ (氰的酸效应为 0),无其它金属离子时,复杂体系中铜氰主要是以  $Cu(CN)_3^{2-}$ ,其分布分数

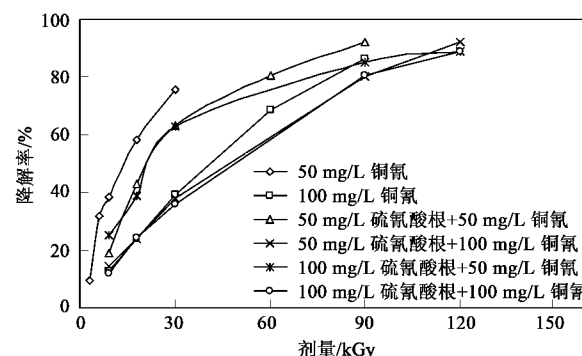


图 6 氰、硫氰酸根和铜氰复杂体系中游离氰浓度降解率与剂量的关系

Fig.6 Free cyanide degradation rate in cyanide, thiocyanate and copper (I) cyanide complicated system and radiation dose

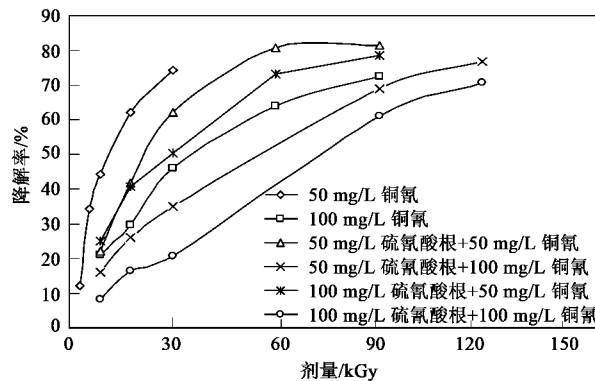


图 7 氰、硫氰酸根和铜氰复杂体系中总氰浓度降解率与剂量的关系

Fig.7 Total cyanide degradation rate in cyanide, thiocyanate and copper (I) cyanide complicated system and radiation dose

在 95% 以上,铜氰的络合强度非常强,所以混合体系中铜氰中的氰难以被离解出来,使得总氰难被完全降解,即使在剂量非常大的情况下也是如此。

表 2 复杂体系中游离氰的辐照降解动力学及  $D_{0.9}$

Table 2 Free cyanide degradation kinetics in complicated system and  $D_{0.9}$

体系	动力学方程	相关系数 ( $R^2$ )	$D_{0.9}/kGy$
50 mg/L 铜氰	$y = 170e^{-0.04924}x$	0.988 2	46.8
100 mg/L 铜氰	$y = 340e^{-0.01772}x$	0.991 5	129.9
50 mg/L 硫氰酸根 + 50 mg/L 铜氰	$y = 170e^{-0.02872}x$	0.991 6	80.2
50 mg/L 硫氰酸根 + 100 mg/L 铜氰	$y = 340e^{-0.01749}x$	0.988 4	131.7
100 mg/L 硫氰酸根 + 50 mg/L 铜氰	$y = 170e^{-0.02643}x$	0.968 6	87.1
100 mg/L 硫氰酸根 + 100 mg/L 铜氰	$y = 340e^{-0.01617}x$	0.999 0	142.4

### 3 结论

(1)溶液中硫氰酸根的辐照降解主要是  $\cdot OH$  作

用的结果,加入  $\cdot OH$  清除剂对硫氰酸根降解有影响,清除剂清除能力越强,浓度越高,则影响越大。

(2)硫氰的辐照降解过程中有氰离子的产生,溶

液 pH 值中性时氰的浓度高,而碱性时氰的浓度低,这与•OH 在不同 pH 值下反应能力的不同有关.

(3)复杂体系中硫氰酸根的降解受到氰根的竞争反应和碱性条件的抑制,在最大剂量下降解率达 30%,游离氰能较好地被降解,铜氰则由于铜与氰的强络合能力形成 Cu(CN)<sup>2-</sup> 而使其总氰降解到一定程度(80%左右)后受到一定抑制.

#### 参考文献:

- [1] Sharma V K, Burnett C R, O' Connor D B, et al. Iron (VI) and Iron (V) Oxidation of Thiocyanate[J]. Environ Sci Technol, 2002, 36: 4182-4186.
- [2] 刘雅梅. 地甲病病区及非病区 373 例尿硫氰化物测试分析[J]. 中国地方病防治杂志, 1987, 2(2): 118-120.
- [3] Vicente J, Diaz M. Thiocyanate wet oxidation[J]. Environ Sci Technol, 2003, 37: 1452-1456.
- [4] Hung C H, Pavloatathis S G. Aerobic biodegradation of thiocyanate[J]. Wat Res, 1997, 31(11): 2761-2770.
- [5] 冯海兵, 杨明德, 胡湖生, 等. 硫氰根的  $\gamma$  射线辐照研究[J]. 环境科学, 2008, 29(6): 1578-1581.
- [6] 戚生初, 沈勤长, 吴季兰. 氧化钾水溶液的辐解[J]. 核化学与放射化学, 1983, 5(2): 159-166.
- [7] 胡俊, 王建龙, 程荣.  $\gamma$  辐照-O<sub>3</sub> 氧化联合作用下 4-氯酚的降解[J]. 中国科学 B 辑 化学, 2005, 35(6): 520-525.
- [8] 吴明红, 包伯容. 辐射技术在环境保护中的应用[M]. 北京: 化学工业出版社, 2002. 42-43.
- [9] 张曼维. 辐射化学入门[M]. 合肥: 中国科学技术大学出版社, 1993. 87-88.
- [10] Joseph R, Dov Z. Pulse Radiolytic Investigation of O<sub>aq</sub><sup>-</sup> Radical Ions [J]. J Phys Chem, 1971, 75: 1738-1744.
- [11] Nickelsen M G, Cooper W J, Lin K, et al. High energy electron beam generation of oxidants for the treatment of benzene and toluene in the presence of radical scavengers[J]. Wat Res, 1994, 27(5): 1227-1237.
- [12] Behar D. Pulse Radiolysis Study of Aqueous Hydrogen Cyanide and Cyanide Solutions[J]. J Phys Chem, 1974, 78(26): 2660-2663.
- [13] Lu J M, Dreisinger D B, Cooper W C. Thermodynamics of aqueous copper-cyanide system[J]. Hydrometallurgy, 2002, 66: 23-26.
- [14] 武汉大学. 分析化学[M]. (第三版). 北京: 高等教育出版社, 1995. 526.

## 关于反对个别作者一稿两投行为的联合声明

为保证所发表论文的首创性和学术严谨性,《环境科学》、《中国环境科学》、《环境科学学报》编辑部和《Journal of Environmental Sciences》编辑部特发表如下联合声明.

我们明确反对个别作者的一稿两投或变相一稿两投行为. 自即日起, 我们各刊在接受作者投稿时, 要求论文全体作者就所投稿件作出以下承诺(附在投稿上):

1) 来稿所报道的研究成果均系全体作者的原创性研究成果, 文中报道的研究成果(含图、表中数据的全部或部分)未曾发表亦未曾投其它科技期刊.

2) 在接到所投期刊编辑部关于稿件处理结果之前, 所投稿件的全部或部分内容不再投其它科技期刊.

我们将认真对待作者所作的上述承诺, 并建立信息共享机制, 对违背上述承诺的作者(包括在文中署名的全体作者)采取联合行动.

净化学术环境、促进学术繁荣是学术期刊作者和编者的共同责任. 我们诚恳地希望广大作者能够了解我们的上述立场和做法, 并积极宣传和配合.

《环境科学》编辑部

《中国环境科学》编辑部

《环境科学学报》编辑部

《Journal of Environmental Sciences》编辑部